

MNUM-PROJEKT, zadanie 1.25

Wojciech Grunwald (311566)

11.04.2023

1 Wstęp

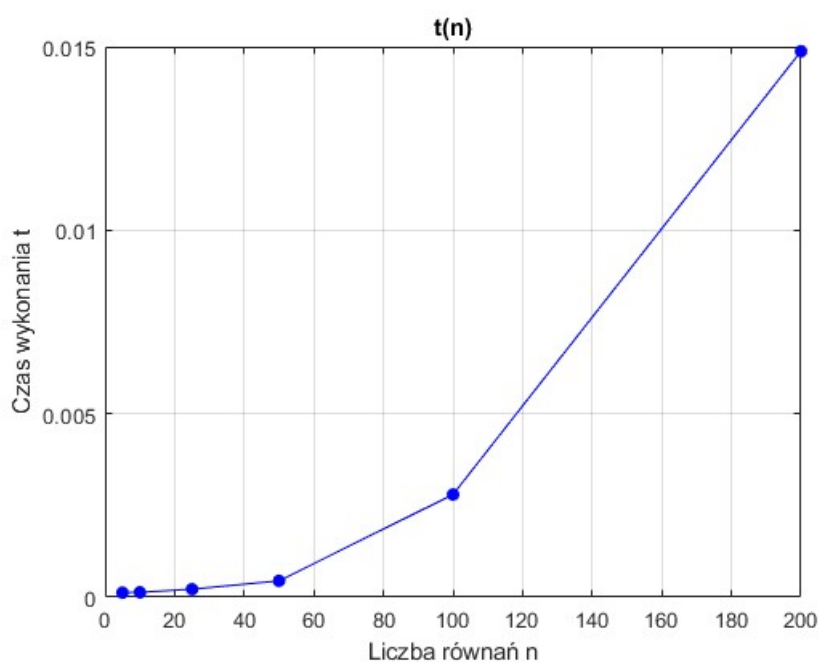
Celem projektu jest napisanie solwera w *Matlabie* rozwiązującego układ n równań liniowych $Ax=b$, gdzie $x, b \in \mathbb{R}^n$ za pomocą metody eliminacji Gaussa-Jordana z częściowym wyborem elementu głównego oraz zaimplementowanie aproksymacji wielomianowej metodą najmniejszych kwadratów przy użyciu układu równań normalnych i napisanego wcześniej solwera. Użyte w zadaniu są również: gotowy solwer Gaussa-Seidla i procedura dekompozycji macierzy QR.

Algorytmy zaimplementowałem w *Matlabie* w wersji R2022b. Obliczenia były wykonywane na procesorze Intel Core i5-9300H CPU 2.40Ghz.

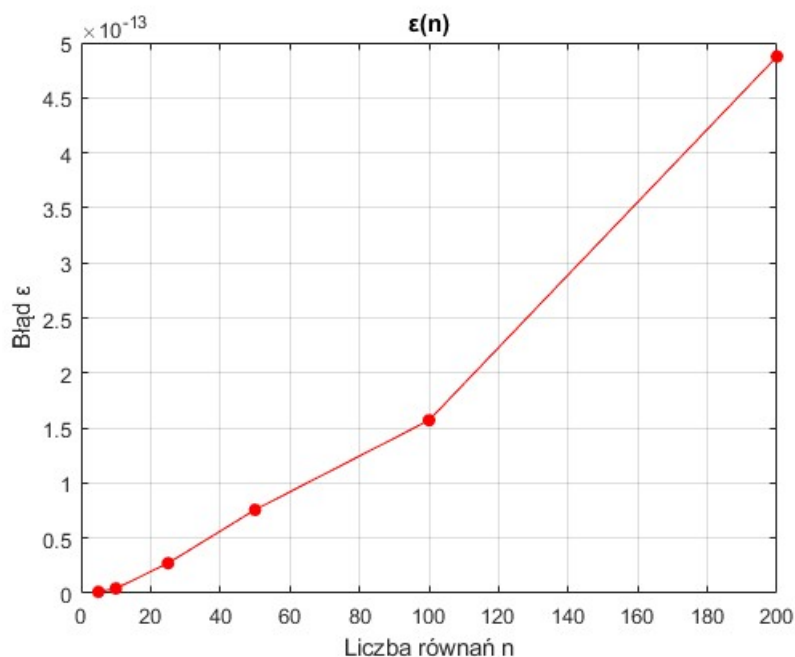
W folderze *Kod źródłowy* załączonym do sprawozdania znajdują się odpowiednie skrypty rozwiązujące zadania:

1. ZAD1.m - skrypt korzystający z własnego solwera Gaussa-Jordana
2. ZAD2.m - skrypt, w którym porównywane są: własny solwer i algorytm Gaussa-Seidla
3. ZAD3.m - skrypt, w którym porównywane są trzy metody aproksymacji wielomianowej:
 - (a) - z wykorzystaniem układu równań normalnych i własnego solwera
 - (b) z wykorzystaniem układu równań normalnych i solwera Gaussa-Seidla
 - (c) z wykorzystaniem dekompozycji QR
4. create_matrixes.m - kreator macierzy do zadania 1
5. create_matrixes_2.m - kreator macierzy do zadania 2
6. solver.m - własny solwer Gaussa-Jordana z częściowym wyborem elementu głównego
7. GS.m - gotowy solwer Gaussa-Seidla
8. approx.m - w.w. pierwsza metoda aproksymacji wielomianowej
9. approxGS.m - w.w. druga metoda aproksymacji wielomianowej
10. approxQR.m - w.w. trzecia metoda aproksymacji wielomianowej

2.2 Testowanie własnego solwera dla kilku układów równań



Rysunek 1: Zależność czasu obliczeń t od liczby równań n

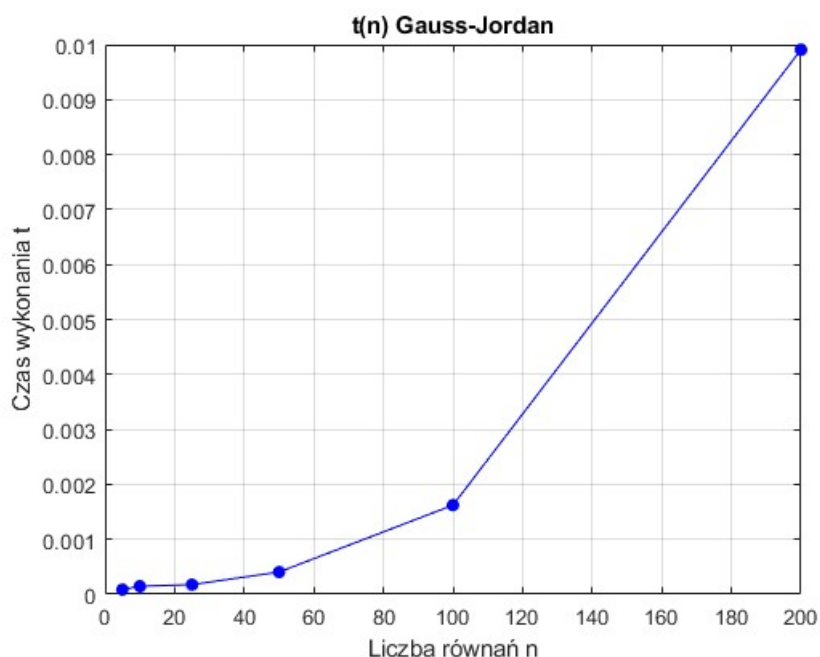


Rysunek 2: Zależność błędzie ϵ od liczby równań n

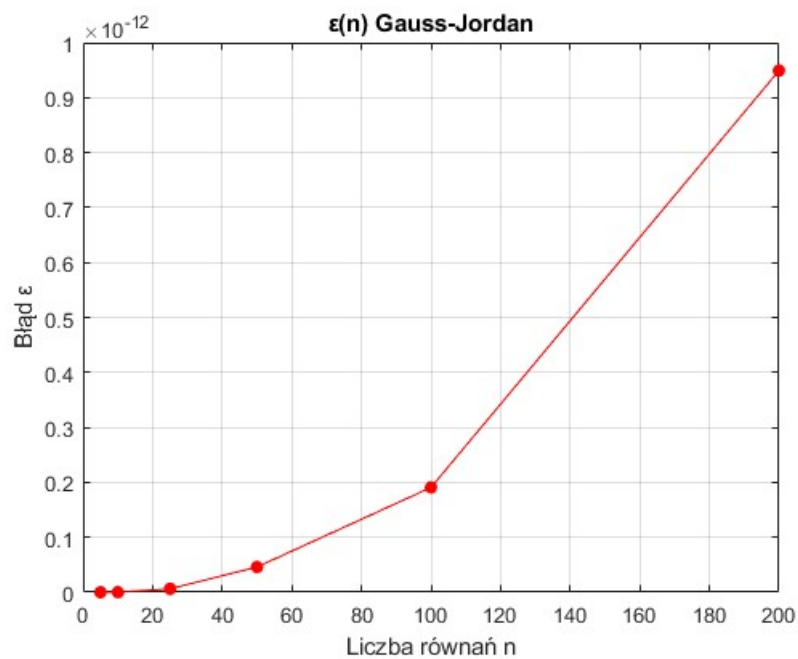
Jak widać na wykresach otrzymaliśmy zależności, których się spodziewano - zarówno czas obliczeń, jak i błąd rosną szybko. Zależność między czasem obliczeń a liczbą równań w metodzie eliminacji Gaussa-Jordana z częściowym wyborem elementu głównego jest funkcją trzeciego stopnia n^3 .

Zależność między błędem rozwiązania a liczbą równań w układzie liniowym może być opisana za pomocą współczynnika uwarunkowania macierzy. W przypadku metody eliminacji Gaussa-Jordana z częściowym wyborem elementu głównego współczynnik uwarunkowania macierzy A może wzrastać wraz z liczbą równań, co widać na wykresie.

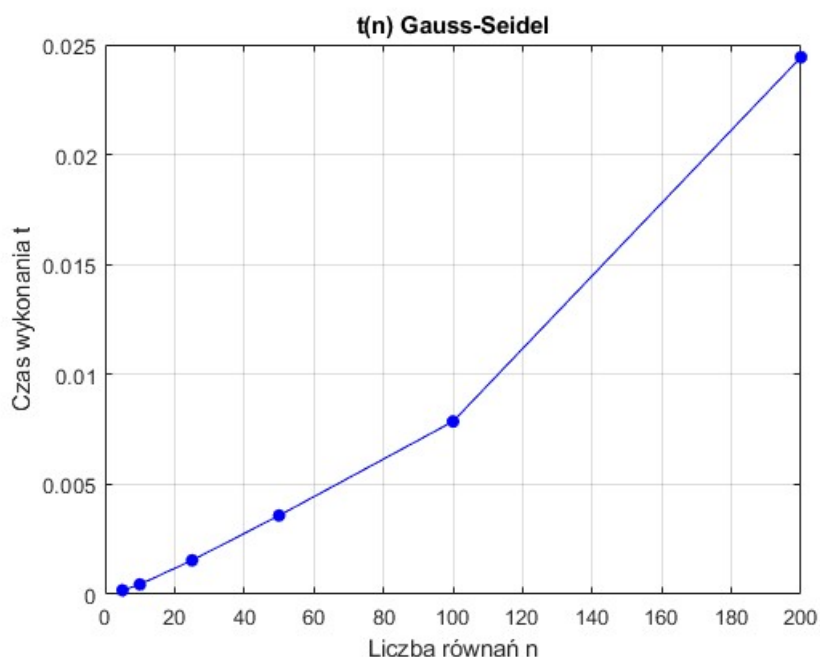
3 Porównanie stworzonego algorytmu z gotowym algorytmem Gaussa-Seidela na innych macierzach



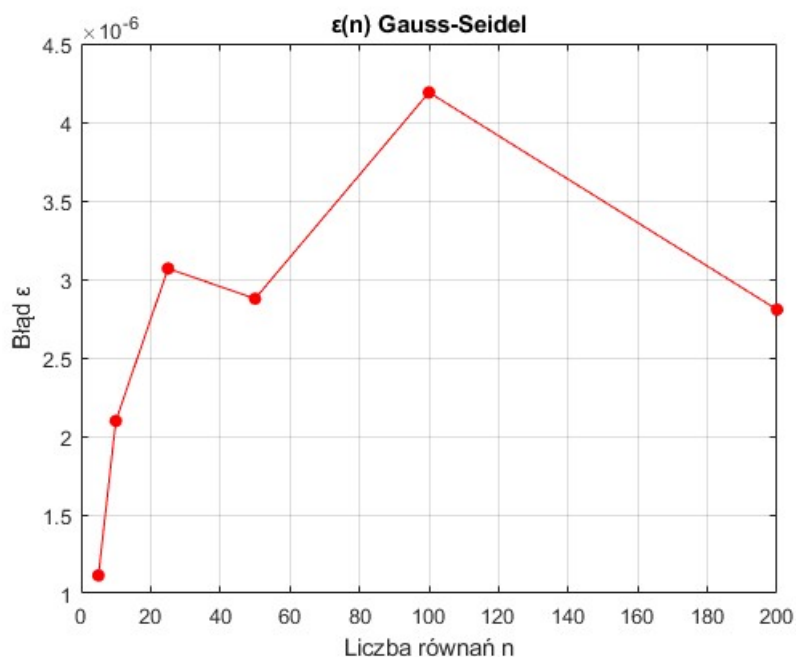
Rysunek 3: Zależność czasu obliczeń t od liczby równań n dla algorytmu Gaussa-Jordana



Rysunek 4: Zależność błędności ϵ od liczby równań n dla algorytmu Gaussa-Seidla



Rysunek 5: Zależność czasu obliczeń t od liczby równań n dla algorytmu Gaussa-Seidla



Rysunek 6: Zależność błędności ϵ od liczby równań n dla algorytmu Gaussa-Seidla

Z wykresów można zauważyć, że algorytm Gaussa-Jordana jest algorytmem szybszym niż algorytm iteracyjny Gaussa-Seidla. Algorytm Gaussa-Seidla ma złożoność mniejszą ($O(n^2)$) i może być szybszy od metody Gaussa-Jordana w przypadku rzadkich macierzy, ale jeśli bierzemy pod uwagę dokładność i szerokie zastosowanie, to metoda Gaussa-Jordana jest lepsza. Ponadto metoda Seidla nie jest dokładna i może zbiegać się wolno lub wcale dla niektórych macierzy.

N	Gauss-Jordan		Gauss-Seidel	
	$\epsilon [10^{-12}]$	t[s]	$\epsilon [10^{-6}]$	t[s]
5	0	0.0001	1.114	0.0002
10	0.0003	0.0001	2.098	0.0004
25	0.0063	0.0002	3.068	0.0015
50	0.0460	0.0004	2.876	0.0036
100	0.1907	0.0016	4.189	0.0079
200	0.9493	0.0099	2.807	0.0244

Tabela 1: Błędy i czasy obliczeń algorytmów Gaussa-Jordana i Seidla

4 Metoda najmniejszych kwadratów do funkcji wielomianowej

4.1 Wprowadzenie teoretyczne

4.1.1 Aproksymacja średniokwadratowa dyskretna (wielomianowa) i układ równań normalnych

Niech $f(x)$ przyjmuje na pewnym zbiorze punktów x_0, x_1, \dots, x_N znane wartości $y_j = f(x_j), j = 0, 1, 2, \dots, N$ (N - liczba punktów). Wtedy funkcję $f(x)$ aproksymującą będzie reprezentować układ funkcji bazowych przestrzeni funkcji aproksymujących, tzn.:

$$F(x) = \sum_{i=0}^n a_i \phi_i(x) \quad (4)$$

Zadaniem aproksymacji będzie wtedy wyznaczenie wartości współczynników a_0, a_1, \dots, a_n określających funkcję aproksymującą tak, aby zminimalizować błąd średniokwadratowy zdefiniowany zależnością:

$$H(a_0, \dots, a_n) = \sum_{j=0}^N \left[f(x_j) - \sum_{i=0}^n a_i \phi_i(x_j) \right]^2 \quad (5)$$

Jest to UKŁAD RÓWNAŃ LINIOWYCH WZGLĘDEM WSPÓŁCZYNNIKÓW a_0, \dots, a_n , który nazywany jest układem równań normalnych, a macierz tego układu to tzw. macierz Grama.

Zaznaczmy teraz, że n będzie naszym stopniem wielomianu. Dalej zadanie aproksymacji możemy zapisać także w postaci:

$$H(a) = (\|y - Aa\|_2)^2 \quad (6)$$

gdzie $A = \begin{bmatrix} \phi_0(x_0) & \phi_1(x_0) & \dots & \phi_n(x_0) \\ \phi_0(x_1) & \phi_1(x_1) & \dots & \phi_n(x_1) \\ \phi_0(x_2) & \phi_1(x_2) & \dots & \phi_n(x_2) \\ \dots & \dots & \dots & \dots \\ \phi_0(x_N) & \phi_1(x_N) & \dots & \phi_n(x_N) \end{bmatrix}$, $a = [a_0 \ a_1 \ \dots \ a_n]^T$, $y = [f(x_0) \ f(x_1) \ \dots \ f(x_j)]^T$ ($j=0, 1, \dots, N$)

UWAGA: W środowisku Matlab indeksy macierzy są numerowane od 1, a nie od 0, więc trzeba wszystko siłą rzeczy przesunąć o 1 indeks.

Wykorzystując definicję macierzy A układ równań normalnych możemy zapisać w postaci:

$$A^T A a = A^T y \quad (7)$$

Dalej przyjmujemy jako bazę definiującą naszą funkcję aproksymującą - bazę wielomianów, tzn. $\phi_0(x) = 1, \phi_1(x) = x, \dots, \phi_n(x) = x^n$, co implikuje:

$$F(x) = a_0 + a_1 x + \dots + a_n x^n \quad (8)$$

Wprowadzamy oznaczenia pomocnicze:

$$g_{ik} = \sum_{j=0}^N (x_j)^i x_j^k = \sum_{j=0}^N (x_j)^{(i+k)} \quad (9)$$

$$\rho_{ik} = \sum_{j=0}^N f(x_j) (x_j)^k \quad (10)$$

Uzyskujemy układ równań normalnych w postaci:

$$G \cdot a = \rho \quad (11)$$

z którego wyznaczamy wektor współczynników w celu uzyskania wielomianu aproksymującego.

$$\begin{bmatrix} a_0 g_{00} + a_1 g_{10} + \dots + a_n g_{n0} &= \rho_0 \\ a_0 g_{01} + a_1 g_{11} + \dots + a_n g_{n1} &= \rho_1 \\ \dots &\dots \\ a_0 g_{0n} + a_1 g_{1n} + \dots + a_n g_{nn} &= \rho_n \end{bmatrix} = G \cdot a = \rho \quad (12)$$

4.1.2 Faktoryzacja QR

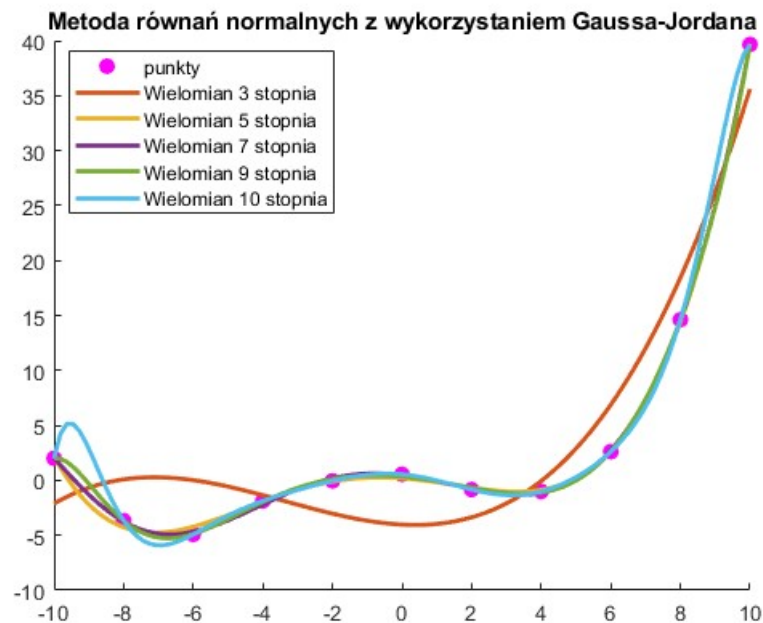
Faktoryzacja QR oznacza rozkład macierzy do postaci iloczynu $A=QR$, gdzie Q jest macierzą ortogonalną ($Q^T Q = I$), a R macierzą trójkątną górną. Faktoryzacja umożliwia rozwiązanie układu równań normalnych w inny sposób:

$$A^T A a = A^T y \quad (13)$$

Otrzymujemy:

$$a = R^{-1} Q^T y \quad (14)$$

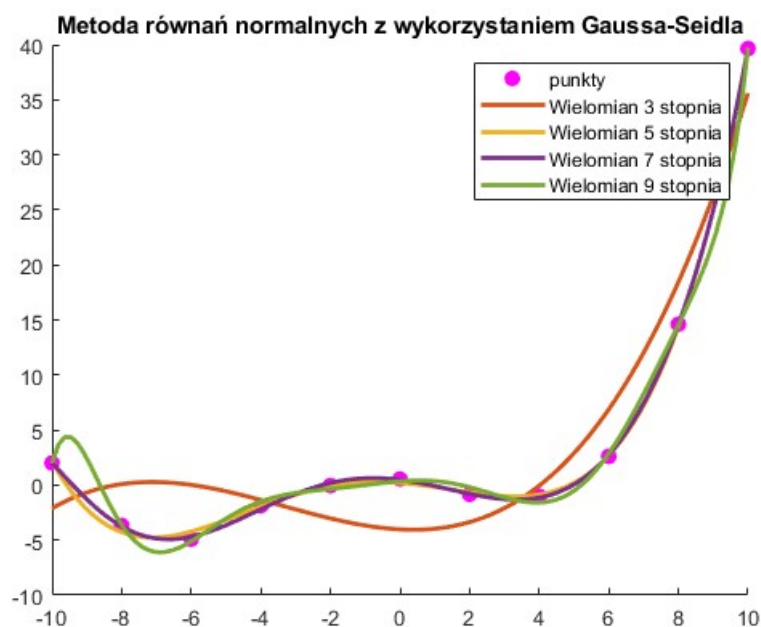
4.2 Układ równań normalnych i własny solwer



Rysunek 7: Aproksymacja pierwszą metodą

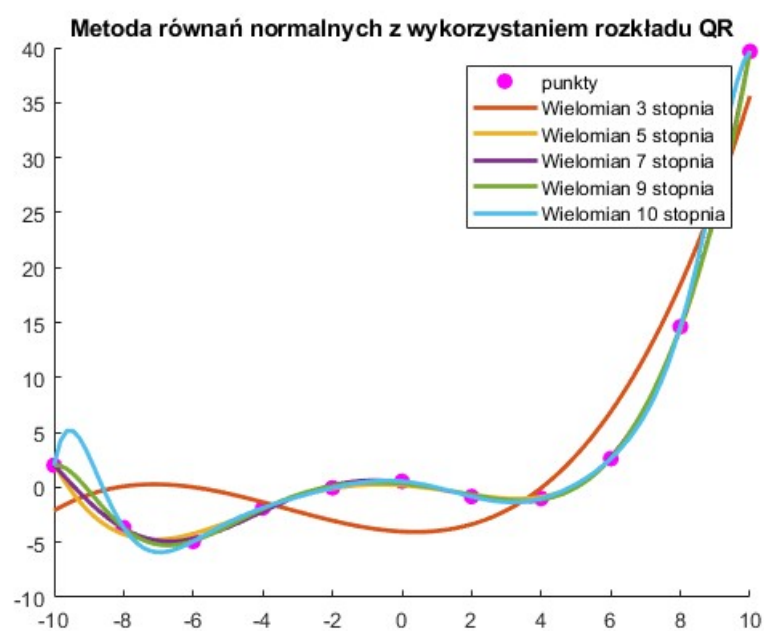
4.3 Układ równań normalnych i solver GS

Przy obliczeniach tą metodą pojawiły się pewne problemy: dla 10 stopnia wielomianu algorytm generuje nieadekwatny wielomian do danych. Prawdopodobnie dzieje się tak przez liczbę iteracji algorytmu Gaussa-Seidla, ponieważ algorytm ten ze względu na swoją naturę potrzebuje już w tym przypadku wielu iteracji, aby uzyskać zadowalającą aproksymację. Dla iteracji rzędu 10^6 algorytm wciąż nie działa tak, jakby tego oczekiwano, a dla 10^7 wykonuje się bardzo długi czas.



Rysunek 8: Aproksymacja drugą metodą

4.4 Rozkład QR



Rysunek 9: Aproksymacja trzecią metodą

P	Gauss-Jordan			Gauss-Seidel		
	ϵ_2	ϵ_∞	t [$s \cdot 10^{-3}$]	ϵ_2	ϵ_∞	t [s]
3	11.9237	4.9326	0.1300	11.9237	4.9326	0.0008
5	1.0707	0.6951	0.1926	1.0707	0.6951	0.0219
7	0.5140	0.3276	0.1172	0.5142	0.3261	1.0227
9	0.3489	0.2045	0.1061	1.0718	0.6461	113.2482
10	0.0000	0.0000	0.1964	————	————	————

Tabela 2: Pierwsza część zbiorczej tabeli błędów i czasu obliczeń dla różnych metod aproksymacji

P	Rozkład QR		
	$\epsilon_2 [10^{-12}]$	ϵ_∞	$t [s \cdot 10^{-3}]$
3	11.9237	4.9326	0.2568
5	1.0707	0.6951	0.1959
7	0.5140	0.3276	0.1288
9	0.3489	0.2045	0.0952
10	0.0000	0.0000	0.0814

Tabela 3: Druga część zbiorczej tabeli błędów i czasu obliczeń dla różnych metod aproksymacji

Z obliczeń można wywnioskować, że błędy tych trzech algorytmów były podobnego rzędu. Ponadto przy metodach dokładniejszych (Gausa-Jordana i rozkładu QR) przy stopniu wielomianu równemu 10 błąd zbliżył się niemalże do 0, jednak wielomian ten jest niewygodny do wykorzystywania w obliczeniach ze względu na swój duży stopień i wynikające z tego problemy obliczeniowe. W praktyce przy aproksymacji wielomianem jego stopień powinien być znacznie mniejszy od liczby punktów, na podstawie których dokonujemy aproksymacji - uzyskujemy wtedy prostsze funkcje.

Dodatkowo widoczna jest zauważalna przewaga algorytmów bezpośrednich ponad iteracyjnymi (w tym przypadku), ponieważ czas wykonania algorytmu Gausa-Seidla był znacznie większy od pozostałych.